

CHEMISCHE BERICHTE

GEGRÜNDET 1868

118. JAHRGANG

HERAUSGEGEBEN IM AUFTRAG DER
GESELLSCHAFT DEUTSCHER CHEMIKER

VON

K. HAFNER · W. KIRMSE · H. MUSSO · H. NÖTH ·
J. SAUER · E. WINTERFELDT

UNTER MITWIRKUNG VON

W. BECK · H. A. BRUNE · H. BUDZIKIEWICZ · W. LÜTTKE

REDAKTION: H. ZAHN

mit H. SCHILL, J. STREHLOW und A. WIELAND


VCH
Verlagsgesellschaft

1985
HEFT 12

INHALT VON HEFT 12

118. Jahrgang 1985

ANORGANISCHE CHEMIE

- Nöth* Heinrich, *Schwartz* Manfred und *Weber* Siegfried: Beiträge zur Chemie des Bors, 162: Zur Reaktion von Chlorwasserstoff mit (*tert*-Butylimino)(tetramethylpiperidino)boran und seinem Diazadiboretidin-Dimeren 4716
- Schubert* Ulrich, *Steib* Christine und *Amberg* Sabine: Fluorenylsilane, V: Umlagerungen silylsubstituierter Fluorenylsilane 4774
- Ellermann* Jochen und *Brehm* Ludwig: Chemie polyfunktioneller Moleküle, 88: (Chlormethyl)tris[(diiodarsino)methyl]methan und seine Verwendung zur Synthese offenkettiger, bi- und tricyclischer Organo-Arsen-Verbindungen 4794
- Kischkel* Helmut und *Röschenthaler* Gerd-Volker: Halogen[2,2,2-trifluor-1-(trifluormethyl)-1-(trimethylsilyloxy)ethyl]phosphane 4842
- Fischer* Klaus, *Deck* Werner, *Schwarz* Martin und *Vahrenkamp* Heinrich: Anorganische Reaktionen der Cluster $\text{FeCo}_2\text{S}(\text{CO})_9$, $\text{HF}_2\text{CoS}(\text{CO})_9$ und $\text{H}_2\text{Fe}_3\text{S}(\text{CO})_9$ 4946
- Waterfeld* Alfred und *Mews* Rüdiger: Fluor-Halogen-Austausch an 2,2,4,4-Tetrafluor-1,3-dithietan 4997
- Antel* Jochen, *Harms* Klaus, *Jones* Peter G., *Mews* Rüdiger, *Sheldrick* George M. und *Waterfeld* Alfred: Kristallstruktur von 2,4,4-Trifluor-1,3-dithietan-2-ylidm-hexafluoroarsenat 5006
- Hensel* Ralph und *du Mont* Wolf-Walther: Darstellung von *cis*-Dichloro[tellurobis(*tert*-butylphosphan)]platin(II) 5016

ORGANISCHE CHEMIE

- Müller* Wolf-Dieter, *Schmidtberg* Günther und *Brune* Hans-Albert: Synthesen substituierter *cis*- und *trans*-Bis(phenyl)bis(tri-*n*-butylphosphan)platin(II)-Verbindungen 4653
- Flamm-ter Meer* Manuela A., *Beckhaus* Hans-Dieter, *Peters* Karl, *Schnering* von Hans-Georg und *Rüchardt* Christoph: Thermolabile Kohlenwasserstoffe, XXVII: 2,3-Di-1-adamantyl-2,3-dimethylbutan; lange Bindungen und geringe thermische Stabilität 4665
- Langhals* Heinz und *Pust* Stefan: Fluoreszenzfarbstoffe mit großen Stokes-Shifts — eine einfache Synthese von [2,2'-Bipyridin]-3,3'-diol 4674
- Gesche* Paul, *Klinger* François, *Müller* Wolfgang, *Streith* Jacques, *Strub* Henri und *Sustmann* Reiner: Chemospezifität und Regioselektivität bei der Cycloaddition von Diazoalkanen an 1*H*-1,2-Diazepine 4682
- Ried* Walter, *Nemninger* Jutta und *Bats* Jan W.: Reaktion von Cyanamiden mit Malonylchlorid, Cyanessigsäurechlorid und Dichlormalonylchlorid 4707
- Gleiter* Rolf und *Dobler* Walter: Stufenweise Oxidation von 1,2-Naphthochinon und Cyclohepta[*de*]naphthalin-7,8-dion (*o*-Pleiadienchinon) 4725
- Knorr* Rudolf, *Ruf* Friedrich, *Högerl* Johann, *Hilpert* Monika und *Hassel* Petra: (1-Alkoxyalkyl)malonaldehyd-dianile aus Formylmalonaldehyd-dianil durch Aldimin-Reduktion und 1,3-Anilin-Verschiebung 4743
- Ruf* Friedrich, *Högerl* Johann, *Knorr* Rudolf und *Bronberger* Hildegard: (1-Alkyl)malonaldehyd-dianile aus Formylmalonaldehyd-dianil 4754

<i>Severin Theodor, Lerche Holger und Zimmermann Birgit</i> : Umsetzungen mit Monohydrazonen von Dicarbonylverbindungen, XI: Von Glyoxal-mono(dimethylhydrazon) abgeleitete azavinyloge Aminaether und azavinyloge Amidiniumsalze. Ein Reaktionsvergleich	4760
<i>Wamhoff Heinrich, Thiemig Heinz-Albrecht, Puff Heinrich und Friedrichs Edmund</i> : Heterocyclische β -Enaminoester, 40: Über Dimerisierungs- und Trimerisierungsprodukte aus 2-Amino-3-cyan-4,5-dihydrofuranen in Formamid. Röntgenstrukturanalyse eines 4,4-Bis(furo[2,3- <i>d</i>]pyrimidin-2-yl)-2-butanols	4782
<i>Vofß Jürgen, Wiegand Gabriele und Hülsmeier Karin</i> : Elektroreduktion organischer Verbindungen, 6: Elektroreduktion <i>N,N</i> -disubstituierter Thioamide in Gegenwart von Elektrophilen	4806
<i>Hartke Klaus und Morick Wolfgang</i> : Monosulfonio- und Trissulfoniocyclopentadienide	4821
<i>Morick Wolfgang und Hartke Klaus</i> : Zur Reaktion von Fulvenen mit aktivierten Sulfoxiden	4830
<i>Risch Nikolaus</i> : 1-Azaadamantane aus substituierten Phloroglucinen	4849
<i>Stahl Ingfried</i> : 1,3-Dithienium- und 1,3-Dithioleniumsalze, V: Bestimmung der relativen Reaktivität von 1,3-Dithian-2-ylum-tetrafluoroboraten durch intermolekularen Hydrid-Ionen-Transfer	4857
<i>Effenberger Franz, Beisswenger Thomas und Az Rainer</i> : Zersetzung von 2-Azido-ketonen zu 2-(Acetylamino)-2-alken-1-onen unter Perrhenat-Katalyse	4869
<i>Stetter Hermann und Jansen Bernhard</i> : Addition von Aldehyden an aktivierte Doppelbindungen, XXXVII: Synthese symmetrischer und unsymmetrischer 1,4,7,10-Tetraketone	4877
<i>Haenel Matthias W., Lintner Birgit, Benn Reinhard, Ruffínska Anna, Schroth Gerhard, Krüger Carl, Hirsch Susanne, Irngartinger Hermann und Schweitzer Dieter</i> : Transanulare Wechselwirkung bei [m.n]Phanen, 29: Modelle für Amin-Aromaten-Exciplexe: π - π - versus n - π -Wechselwirkung bei isomeren [2]Naphthalino[2](2,6)pyridinophanen und [2]Naphthalino[2](2,6)pyridinophan-1,11-dienen	4884
<i>Lintner Birgit, Schweitzer Dieter, Benn Reinhard, Ruffínska Anna und Haenel Matthias W.</i> : Transanulare Wechselwirkung bei [m.n]Phanen, 30: Modelle für Amin-Aromaten-Exciplexe: Isomere [2]Naphthalino[2](2,6)pyrazinophane und [2]Naphthalino[2](2,6)pyrazinophan-1,11-diene	4907
<i>Haenel Matthias W., Lintner Birgit, Benn Reinhard, Ruffínska Anna und Schroth Gerhard</i> : Transanulare Wechselwirkung bei [m.n]Phanen, 31: S-Analoge Wittig-Etherumlagerung von Thioethern in Dithia[3,3]phanen mit Alkalimetallbis(trimethylsilyl)amiden	4922
<i>Bindl Johann, Burgemeister Thomas und Daub Jörg</i> : Kondensierte Diphenochinone mit Azulenteilstrukturen	4934
<i>Kirmse Wolfgang und Ritzer Joachim</i> : Umlagerungen von Pentacyclododecykationen	4965
<i>Kirmse Wolfgang und Ritzer Joachim</i> : Brückenkopf-Alkene aus Carbenen: Pentacyclo[6.4.0.0 ^{2,10} .0 ^{3,7} .0 ^{5,9}]dodec-3-en	4987
<i>Abdulla Riaz F., Jones Noel D. und Swartzendruber John K.</i> : Über die Struktur der roten Acylierungsprodukte von Pyridazinyhydrazonen	5009
<i>Adam Waldemar und Berkessel Albrecht</i> : Synthese und Homo-Diels-Alder-Spaltung des Epoxy-azoalkans <i>exo</i> -3-Oxa-6,7-diazatricyclo[3.2.1.0 ^{2,4}]oct-6-en	5018

CONTENTS OF No. 12

INORGANIC CHEMISTRY

<i>Nöth</i> Heinrich, <i>Schwartz</i> Manfred, and <i>Weber</i> Siegfried: Contributions to the Chemistry of Boron, 162: The Reaction of Hydrogen Chloride with (<i>tert</i> -Butylimino)(tetramethylpiperidino)borane and its Diazadiboretidine Dimer	4716
<i>Schubert</i> Ulrich, <i>Steib</i> Christine, and <i>Amberg</i> Sabine: Fluorenylsilanes, V: Rearrangements of Silyl-substituted Fluorenylsilanes	4774
<i>Ellermann</i> Jochen and <i>Brehm</i> Ludwig: Chemistry of Polyfunctional Molecules, 88: (Chloromethyl)tris[(diiodoarsino)methyl]methane and its Application for the Synthesis of Linear, Bicyclic, and Tricyclic Organo Arsenic Compounds	4794
<i>Kischkel</i> Helmut and <i>Röschenthaler</i> Gerd-Volker: Halo[2,2,2-trifluoro-1-(trifluoromethyl)-1-(trimethylsiloxy)ethyl]phosphanes	4842
<i>Fischer</i> Klaus, <i>Deck</i> Werner, <i>Schwarz</i> Martin, and <i>Vahrenkamp</i> Heinrich: Inorganic Reactions of the Clusters $\text{FeCo}_2\text{S}(\text{CO})_9$, $\text{HFe}_2\text{CoS}(\text{CO})_9$, and $\text{H}_2\text{Fe}_3\text{S}(\text{CO})_9$	4946
<i>Waterfeld</i> Alfred and <i>Mews</i> Rüdiger: Fluorine-Halogen Exchange at 2,2,4,4-Tetrafluoro-1,3-dithietane	4997
<i>Antel</i> Jochen, <i>Harms</i> Klaus, <i>Jones</i> Peter G., <i>Mews</i> Rüdiger, <i>Sheldrick</i> George M., and <i>Waterfeld</i> Alfred: Crystal Structure of 2,4,4-Trifluoro-1,3-dithietan-2-ylum Hexafluoroarsenate	5006
<i>Hensel</i> Ralph and <i>du Mont</i> Wolf-Walther: Preparation of <i>cis</i> -Dichloro[tellurobis(<i>tert</i> -butylphosphane)]platinum(II)	5016

ORGANIC CHEMISTRY

<i>Müller</i> Wolf-Dieter, <i>Schmidtberg</i> Günther, and <i>Brune</i> Hans-Albert: Syntheses of Substituted <i>cis</i> - and <i>trans</i> -Bis(phenyl)bis(tri- <i>n</i> -butylphosphane)platinum(II) Compounds	4653
<i>Flamm-ter Meer</i> Manuela A., <i>Beckhaus</i> Hans-Dieter, <i>Peters</i> Karl, <i>Schnering</i> von Hans-Georg, and <i>Rüchardt</i> Christoph: Thermolabile Hydrocarbons, XXVII: 2,3-Di-1-adamantyl-2,3-dimethylbutane; Long Bonds and Low Thermal Stability	4665
<i>Langhals</i> Heinz and <i>Pust</i> Stefan: Fluorescent Dyes with Large Stokes Shifts — a Simple Synthesis of [2,2'-Bipyridine]-3,3'-diol	4674
<i>Gesche</i> Paul, <i>Klinger</i> François, <i>Müller</i> Wolfgang, <i>Streith</i> Jacques, <i>Strub</i> Henri, and <i>Sustmann</i> Reiner: Chemospecificity and Regioselectivity during Cycloaddition Reactions of Diazoalkanes with 1 <i>H</i> -1,2-Diazepines	4682
<i>Ried</i> Walter, <i>Nenninger</i> Jutta, and <i>Bats</i> Jan W.: Reaction of Cyanamides with Malonyl Chloride, Cyanoacetyl Chloride, and Dichloromalonyl Chloride	4707
<i>Gleiter</i> Rolf and <i>Dobler</i> Walter: Stepwise Oxidation of 1,2-Naphthoquinone and Cyclohepta[<i>de</i>]naphthalene-7,8-dione (<i>o</i> -Pleiadienequinone)	4725
<i>Knorr</i> Rudolf, <i>Ruf</i> Friedrich, <i>Högerl</i> Johann, <i>Hilpert</i> Monika, and <i>Hassel</i> Petra: (1-Alkoxyalkyl)malonaldehyde Dianils by Aldimine Reduction of Formylmalonaldehyde Dianil and 1,3-Migration of the Anilino Group	4743
<i>Ruf</i> Friedrich, <i>Högerl</i> Johann, <i>Knorr</i> Rudolf, and <i>Bronberger</i> Hildegard: (1-Alkenyl)malonaldehyde Dianils from Formylmalonaldehyde Dianil	4754
<i>Severin</i> Theodor, <i>Lerche</i> Holger, and <i>Zimmermann</i> Birgit: Reactions with Monohydrazones of Dicarbonyl Compounds, XI: <i>N,O</i> -Acetal of Glyoxal Monodime-	

thylhydrazone and (Hydrazonoethylidene)ammonium Salts as Reagents for Synthesis	4760
<i>Wamhoff</i> Heinrich, <i>Thiemig</i> Heinz-Albrecht, <i>Puff</i> Heinrich, and <i>Friedrichs</i> Edmund: Heterocyclic β -Enamino Esters, 40: About Dimerizates and Trimerizates of 2-Amino-3-cyano-4,5-dihydrofurans in Formamide. X-ray Analysis of a 4,4-Bis-(furo[2,3- <i>d</i>]pyrimidin-2-yl)-2-butanol	4782
<i>Vofß</i> Jürgen, <i>Wiegand</i> Gabriele, and <i>Hülsmeier</i> Karin: Electroreduction of Organic Compounds, 6: Electroreduction of <i>N,N</i> -Disubstituted Thioamides in the Presence of Electrophiles	4806
<i>Hartke</i> Klaus and <i>Morick</i> Wolfgang: Monosulfonio- and Trissulfoniocyclopentadienides	4821
<i>Morick</i> Wolfgang and <i>Hartke</i> Klaus: Reaction of Fulvenes with Activated Sulfoxides	4830
<i>Risch</i> Nikolaus: 1-Azaadamantanes from Substituted Phloroglucinols	4849
<i>Stahl</i> Ingfried: 1,3-Dithienium- and 1,3-Dithiolonium Salts, V: Determination of the Relative Reactivity of 1,3-Dithian-2-ylum Tetrafluoroborates by Intermolecular Hydride Ion Transfer	4857
<i>Effenberger</i> Franz, <i>Beisswenger</i> Thomas, and <i>Az</i> Rainer: Decomposition of 2-Azido Ketones to 2-(Acetylamino)-2-alken-1-ones by Perrhenate Catalysis	4869
<i>Stetter</i> Hermann and <i>Jansen</i> Bernhard: Addition of Aldehydes to Activated Double Bonds, XXXVII: Synthesis of Symmetrical and Unsymmetrical 1,4,7,10-Tetraketones	4877
<i>Haenel</i> Matthias W., <i>Lintner</i> Birgit, <i>Benn</i> Reinhard, <i>Rufińska</i> Anna, <i>Schroth</i> Gerhard, <i>Krüger</i> Carl, <i>Hirsch</i> Susanne, <i>Iringartinger</i> Hermann, and <i>Schweitzer</i> Dieter: Transannular Interaction in [m.n]Phanes, 29: Models for Amine-Arene-Exciplexes: π - π versus n - π Interaction in Isomeric [2]Naphthalino[2](2,6)pyridinophanes and [2]Naphthalino[2](2,6)pyridinophane-1,11-dienes	4884
<i>Lintner</i> Birgit, <i>Schweitzer</i> Dieter, <i>Benn</i> Reinhard, <i>Rufińska</i> Anna, and <i>Haenel</i> Matthias W.: Transannular Interaction in [m.n]Phanes, 30: Models for Amine-Arene-Exciplexes: Isomeric [2]Naphthalino[2](2,6)pyrazinophanes and [2]Naphthalino[2](2,6)pyrazinophane-1,11-dienes	4907
<i>Haenel</i> Matthias W., <i>Lintner</i> Birgit, <i>Benn</i> Reinhard, <i>Rufińska</i> Anna, and <i>Schroth</i> Gerhard: Transannular Interaction in [m.n]Phanes, 31: S-Analogous Wittig-Ether Rearrangement of Thioethers in Dithia[3.3]phanes by means of Alkali Metal Bis(trimethylsilyl)amides	4922
<i>Bindl</i> Johann, <i>Burgemeister</i> Thomas, and <i>Daub</i> Jörg: Condensed Diphenoquinones with Azulene Substructures	4934
<i>Kirmse</i> Wolfgang and <i>Ritzer</i> Joachim: Rearrangements of Pentacyclododecyl Cations	4965
<i>Kirmse</i> Wolfgang and <i>Ritzer</i> Joachim: Bridgehead Alkenes from Carbenes: Pentacyclo[6.4.0.0 ^{2,10} .0 ^{3,7} .0 ^{5,9}]dodec-3-ene	4987
<i>Abdulla</i> Riaz F., <i>Jones</i> Noel D., and <i>Swartzendruber</i> John K.: The Structure of the Scarlet Compounds Obtained From the Acylation of Pyridazinylhydrazones ..	5009
<i>Adam</i> Waldemar and <i>Berkessel</i> Albrecht: Synthesis and Homo-Diels-Alder Cleavage of the Epoxy-azoalkane <i>exo</i> -3-Oxa-6,7-diazatricyclo[3.2.1.0 ^{2,4}]oct-6-ene	5018

AUTORENREGISTER

<i>Abdulla, R. F., Jones, N. D. und Swartzendruber, J. K.</i>	5009	<i>Hassel, P. s. Knorr, R.</i>	4743
<i>Adam, W. und Berkessel, A.</i>	5018	<i>Hensel, R. und du Mont, W.-W.</i>	5016
<i>Amberg, S. s. Schubert, U.</i>	4774	<i>Hilpert, M. s. Knorr, R.</i>	4743
<i>Antel, J., Harms, K., Jones, P. G., Mews, R., Sheldrick, G. M. und Waterfeld, A.</i>	5006	<i>Hirsch, S. s. Haenel, M. W.</i>	4884
<i>Az, R. s. Effenberger, F.</i>	4869	<i>Högerl, J. s. Knorr, R.</i>	4743
<i>Bats, J. W. s. Ried, W.</i>	4707	<i>— s. Ruf, F.</i>	4754
<i>Beckhaus, H.-D. s. Flamm-ter Meer, M. A.</i>	4665	<i>Hülsmeier, K. s. Voß, J.</i>	4806
<i>Beisswenger, T. s. Effenberger, F.</i>	4869	<i>Irrgartinger, H. s. Haenel, M. W.</i>	4884
<i>Benn, R. s. Haenel, M. W.</i>	4884, 4922	<i>Jansen, B. s. Stetter, H.</i>	4877
<i>— s. Lintner, B.</i>	4907	<i>Jones, N. D. s. Abdulla, R. F.</i>	5009
<i>Berkessel, A. s. Adam, W.</i>	5018	<i>Jones, P. G. s. Antel, J.</i>	5006
<i>Bindl, J., Burgemeister, T. und Daub, J.</i>	4934	<i>Kirmse, W. und Ritzer, J.</i>	4965, 4987
<i>Brehm, L. s. Ellermann, J.</i>	4794	<i>Kischkel, H. und Röschenthaler, G.-V.</i>	4842
<i>Bronberger, H. s. Ruf, F.</i>	4754	<i>Klinger, F. s. Gesche, P.</i>	4682
<i>Brune, H.-A. s. Müller, W.-D.</i>	4653	<i>Knorr, R., Ruf, F., Högerl, J., Hilpert, M. und Hassel, P.</i>	4743
<i>Burgemeister, T. s. Bindl, J.</i>	4934	<i>— s. Ruf, F.</i>	4754
<i>Daub, J. s. Bindl, J.</i>	4934	<i>Krüger, C. s. Haenel, M. W.</i>	4884
<i>Deck, W. s. Fischer, K.</i>	4946	<i>Langhals, H. s. Pust, S.</i>	4674
<i>Dobler, W. s. Gleiter, R.</i>	4725	<i>Lerche, H. s. Severin, T.</i>	4760
<i>du Mont, W.-W. s. Hensel, R.</i>	5016	<i>Lintner, B., Schweitzer, D., Benn, R., Ruffińska, A. und Haenel, M. W.</i>	4907
<i>Effenberger, F., Beisswenger, T. und Az, R.</i>	4869	<i>— s. Haenel, M. W.</i>	4884, 4922
<i>Ellermann, J. und Brehm, L.</i>	4794	<i>Mews, R. s. Antel, J.</i>	5006
<i>Fischer, K., Deck, W., Schwarz, M. und Vahrenkamp, H.</i>	4946	<i>— s. Waterfeld, A.</i>	4997
<i>Flamm-ter Meer, M. A., Beckhaus, H.-D., Peters, K., Schnering, von, H.-G. und Rüchardt, C.</i>	4665	<i>Morick, W. und Hartke, K.</i>	4830
<i>Friedrichs, E. s. Wamhoff, H.</i>	4782	<i>— s. Hartke, K.</i>	4821
<i>Gesche, P., Klinger, F., Müller, W., Streith, J., Strub, H. und Sustmann, R.</i>	4682	<i>Müller, W. s. Gesche, P.</i>	4682
<i>Gleiter, R. und Dobler, W.</i>	4725	<i>Müller, W.-D., Schmidtberg, G. und Brune, H.-A.</i>	4653
<i>Haenel, M. W., Lintner, B., Benn, R., Ruffińska, A. und Schroth, G.</i>	4922	<i>Nenninger, J. s. Ried, W.</i>	4707
<i>—, Lintner, B., Benn, R., Ruffińska A., Schroth, G., Krüger, C., Hirsch, S., Irrgartinger, H. und Schweitzer, D.</i>	4884	<i>Nöth, H., Schwartz, M. und Weber, S.</i>	4716
<i>— s. Lintner, B.</i>	4907	<i>Peters, K. s. Flamm-ter Meer, M. A.</i>	4665
<i>Harms, K. s. Antel, J.</i>	5006	<i>Puff, H. s. Wamhoff, H.</i>	4782
<i>Hartke, K. und Morick, W.</i>	4821	<i>Pust, S. s. Langhals, H.</i>	4674
<i>— s. Morick, W.</i>	4830	<i>Ried, W., Nenninger, J. und Bats, J. W.</i>	4707
		<i>Risch, N.</i>	4849
		<i>Ritzer, J. s. Kirmse, W.</i>	4965, 4987
		<i>Röschenthaler, G.-V. s. Kischkel, H.</i>	4842
		<i>Rüchardt, C. s. Flamm-ter Meer, M. A.</i>	4665
		<i>Ruf, F., Högerl, J., Knorr, R. und Bronberger, H.</i>	4754
		<i>— s. Knorr, R.</i>	4743
		<i>Ruffińska, A. s. Lintner, B.</i>	4907
		<i>— s. Haenel, M. W.</i>	4884, 4922
		<i>Schmidtberg, G. s. Müller, W.-D.</i>	4653

<i>Schnering, von, H.-G. s. Flamm-ter</i>		<i>Strub, H. s. Gesche, P.</i>	4682
<i>Meer, M. A.</i>	4665	<i>Sustmann, R. s. Gesche, P.</i>	4682
<i>Schroth, G. s. Haenel, M. W.</i>	4884, 4922	<i>Swartzendruber, J. K. s. Abdulla, R. F.</i>	5009
<i>Schubert, U., Steib, C. und Amberg, S.</i>	4774	<i>Thiemig, H.-A. s. Wamhoff, H.</i>	4782
<i>Schwartz, M. s. Nöth, H.</i>	4716	<i>Vahrenkamp, H. s. Fischer, K.</i>	4946
<i>Schwarz, M. s. Fischer, K.</i>	4946	<i>Voß, J., Wiegand, G. und</i>	
<i>Schweitzer, D. s. Haenel, M. W.</i>	4884	<i>Hülsmeier, K.</i>	4806
<i>— s. Lintner, B.</i>	4907	<i>Wamhoff, H., Thiemig, H.-A.,</i>	
<i>Severin, T., Lerche, H. und</i>		<i>Puff, H. und Friedrichs, E.</i>	4782
<i>Zimmermann, B.</i>	4760	<i>Waterfeld, A. und Mews, R.</i>	4997
<i>Sheldrick, G. M. s. Antel, J.</i>	5006	<i>— s. Antel, J.</i>	5006
<i>Stahl, I.</i>	4857	<i>Weber, S. s. Nöth, H.</i>	4716
<i>Steib, C. s. Schubert, U.</i>	4774	<i>Wiegand, G. s. Voß, J.</i>	4806
<i>Stetter, H. und Jansen, B.</i>	4877	<i>Zimmermann, B. s. Severin, T.</i>	4760
<i>Streith, J. s. Gesche, P.</i>	4682		

Fluoreszenzfarbstoffe mit großen Stokes-Shifts – eine einfache Synthese von [2,2'-Bipyridin]-3,3'-diol

Heinz Langhals* und Stefan Pust

Institut für Organische Chemie der Universität München,
Karlstr. 23, D-8000 München 2

Eingegangen am 22. Februar 1985

[2,2'-Bipyridin]-3,3'-diol (**4**) wird aus Furoin (**8**) in einem Schritt über die Zincke-Umlagerung in 32proz. Ausbeute erhalten. Die Fluoreszenzquantenausbeute des Farbstoffs beträgt in Chloroform 50% – Absorptions- und Fluoreszenzspektrum sind vollständig getrennt ($TZ = 10^{11}$). Für den großen Stokes-Shift ist ein intramolekularer Protonentransfer nach dem Förster-Mechanismus verantwortlich.

Fluorescent Dyes with Large Stokes Shifts – a Simple Synthesis of [2,2'-Bipyridine]-3,3'-diol

[2,2'-Bipyridine]-3,3'-diol (**4**) is obtained in one step from furoin (**8**) by Zincke rearrangement in 32% yield. The fluorescence quantum yield of the dye is 50% in chloroform – absorption and fluorescence spectra are completely separated ($TZ = 10^{11}$). The large Stokes shift is caused by a proton transfer according to the Förster mechanism.

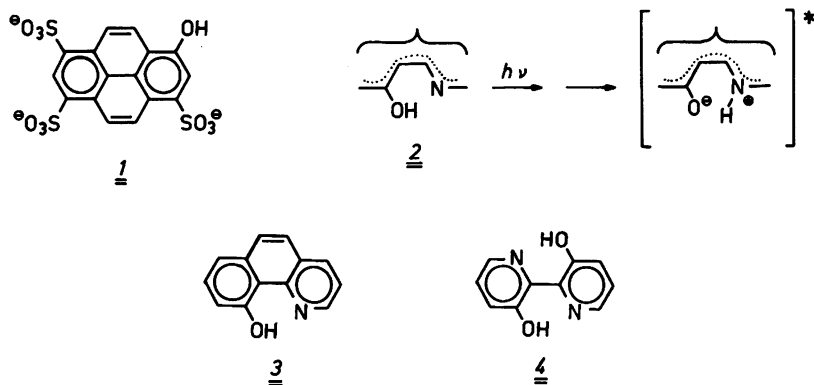
Fluoreszenzfarbstoffe mit großem Stokes-Shift finden vielfältige Verwendung, so z. B. im Fluoreszenz-Solkollektor¹⁻³), als Laser-Farbstoffe⁴) und für Signalfarben⁵).

Wie in vorangegangenen Arbeiten dargelegt^{1,6}), muß zum Erreichen eines großen Stokes-Shifts bei Fluoreszenzfarbstoffen zwischen Anregung und Fluoreszenz ein Modifizierungsschritt geschaltet werden, der die Energie des angeregten Zustands erniedrigt. Da die Anregung in ca. 10^{-15} s erfolgt, die mittlere Lebensdauer des angeregten Zustands aber 10^{-8} – 10^{-9} s beträgt, steht hierfür zwischen diesen beiden Grenzen ein Zeitfenster zur Verfügung. Besonders aussichtsreiche Modifizierungsschritte für einen großen Stokes-Shift, die in dieses Zeitfenster fallen, sind die Relaxation der Solvathülle (für eine Übersicht siehe Lit.⁶) und ein Protonentransfer nach dem Förster-Mechanismus⁷). Förster konnte diesen beim Hydroxypyrentrisulfonat **1** nachweisen, der zu einer vollständigen Trennung zwischen Absorptions- und Fluoreszenzspektrum führt. Bei geeignetem pH-Wert in wäßriger Lösung erfolgt dabei nach Anregung eine Protonenübertragung auf das Solvens. Die fluoreszierende Spezies ist dann das Phenolat-Anion. Wir konnten nachweisen, daß die Fluoreszenzquantenausbeute von **1** auch bei ablaufendem Förster-Mechanismus (in Gegenwart von Sauerstoff) 100% beträgt (Absolutmessung⁸), beim analogen Aminoderivat noch 60%.

Der Förster-Mechanismus stellt damit keine Einschränkung für hohe Fluoreszenzquantenausbeuten dar, obwohl zwischen Anregung und Fluoreszenz ein Bindungsbruch erfolgt.

Für viele praktische Anwendungen ist jedoch der Protonentransfer auf das Medium ungünstig, da dann für den Farbstoff ein genau definiertes Solvens benötigt wird. Gün-

stiger wäre demgegenüber ein intramolekularer Protonenübergang, der gegen das umgebende Medium weniger empfindlich ist und auch polymere Matrices ermöglicht. Um dies zu erreichen, sollte das Strukturelement **2** als Bestandteil eines aromatischen Systems geeignet sein, da bei entsprechender Substitution das Proton nach Anregung von der OH-Gruppe auf den Stickstoff übertragen werden kann. Wir untersuchten zunächst als einfachen Vertreter mit Strukturtyp **2** 5-Hydroxy-4-azaphenanthren (**3**)^{9,10}.



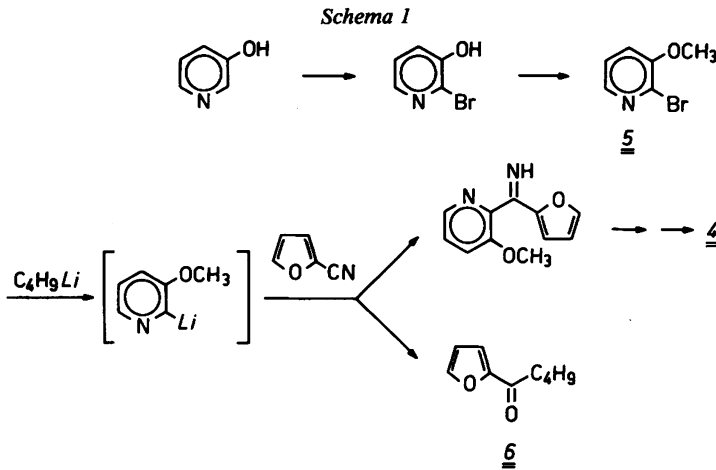
Der Farbstoff **3** weist bereits, wie erwartet, eine vollständige Trennung zwischen Absorptions- und Fluoreszenzspektrum auf (Trennzahl¹¹) $TZ = 10^{13}$ in Chloroform; Abs.: $\lambda_{\max} = 373$, Flu.: $\lambda_{\max} = 588$ nm¹²). Daß der große Stokes-Shift auf den Förster-Mechanismus zurückzuführen ist, läßt sich durch Protonierung des Stickstoffs in **3** z. B. mit HCl zeigen, wodurch der Protonenacceptor blockiert wird. Der Stokes-Shift wird dann stark verringert, insbesondere durch eine hypsochrome Verschiebung der Fluoreszenz (Abs.: $\lambda_{\max} = 412$, Flu.: $\lambda_{\max} = 496$ nm). Für die überwiegende Zahl der Fluoreszenzanwendungen ist aber Farbstoff **3** nicht geeignet, da seine Fluoreszenzquantenausbeute nur 3% (absolut⁸) beträgt.

Ein weiterer Vertreter des Strukturtyps **2** ist 3,3'-Dihydroxy-2,2'-bipyridyl ([2,2'-Bipyridin]-3,3'-diol) (**4**), das jedoch bisher nur schwierig zugänglich ist. Es ist erstmals von Wirth¹³ durch Phenoloxidation von 3-Hydroxypyridin dargestellt worden. Die Darstellung von **4** gelang uns auf diesem Wege allerdings nur in minimalen Ausbeuten. Bleitetrabenzoat erwies sich dabei als bestes Oxidations-Reagenz und lieferte **4** mit 0.5% isolierter Ausbeute¹².

Zur präparativen Darstellung von **4** eignet sich dagegen die Methode nach Witzel¹⁴ (Schema 1) bereits wesentlich besser. Bei diesem Syntheseweg, dessen zweiter Schritt durch Verwendung von festem KOH in DMSO¹⁵ verbessert werden kann, stört allerdings noch die große Zahl der Reaktionsschritte und die Tatsache, daß verhältnismäßig teure Lithiumalkyle benötigt werden. Darüber hinaus läßt sich der Metall-Halogen-Austausch von **5** nur unvollständig erreichen, so daß bei der Reaktion größere Anteile an **6** entstehen, die die Aufarbeitung behindern.

Wir schlagen daher einen anderen Weg für die Darstellung von **4** ein, der ebenfalls auf der Zincke-Umlagerung¹⁶ basiert. Das technisch in sehr großen Mengen zugängliche Furfural (**7**) wird nach Fischer¹⁷ durch eine Benzoin-Kondensation zu Furoin (**8**)

umgesetzt und dieses zu Furil (**9**) oxidiert (Schema 2). Die beiden Reaktionen können auch in einem Schritt ausgeführt werden. Das bereits käufliche **9** wird dann in einer Zincke-Umlagerung in einem Schritt zum Endprodukt **4** umgesetzt.

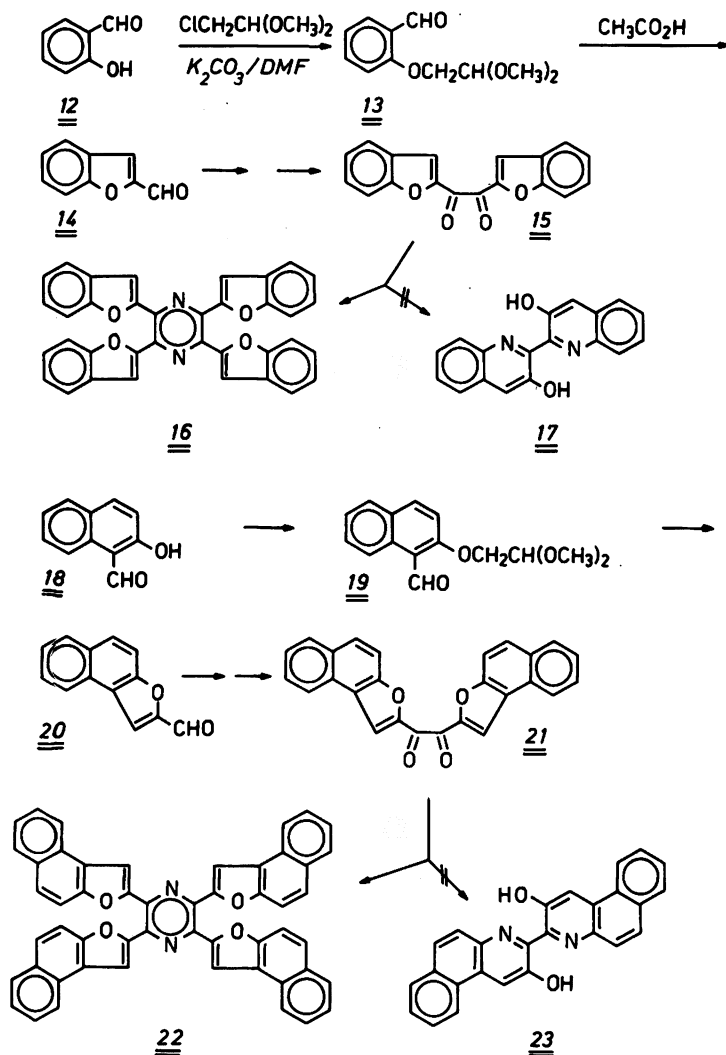


Führt man diese Umlagerung unter den üblichen Reaktionsbedingungen, z. B. nach *Dunlop* und *Swadesh*¹⁸⁾, aus (Wasser/Ammoniak unter Zusatz von Ammoniumchlorid), so entsteht ein komplexes Reaktionsgemisch, das maximal 0.5% **4** enthält. Wird als Ammoniak-Quelle Ammoniumacetat und als Lewis-Säure Zinkacetat verwendet, so tritt eine weitere Reaktion des Furils, die Kondensation zum Pyrazin **10**, in den Vordergrund, das sich mit 20% Ausbeute isolieren läßt, eine Reaktion, die aus Arbeiten von *Wiemann*, *Vinot* und *Villardary*¹⁹⁾ bekannt ist. Führt man dagegen die Reaktion in 1 N HCl/Methanol (1:1) bei 180°C mit einem zehnfachen Überschuß an Ammoniumchlorid durch, so erhält man bereits mehrere Prozent **4**. Als weitere Nebenreaktion wird dabei die Bildung des Pyrrols **11** beobachtet. Wie weiterhin Versuche mit der Modellsubstanz 2-Acetylfuran zeigen, wird erst bei Temperaturen oberhalb von 180°C die Bildung der Pyrrole zugunsten der Pyridine unterdrückt (vgl. auch Lit.¹⁸⁾).

Auf dieser Basis lassen sich die Reaktionsbedingungen für die Darstellung von **4** optimieren: verdünnte methanolische Lösung (zur Vermeidung der bimolekularen Reaktion zu **10**), Zusatz von Ammoniumchlorid im Überschuß und Steigerung der Reaktionstemperatur bis auf 210°C.

Unter den so modifizierten Reaktionsbedingungen wird der Farbstoff **4** mit 32% Ausbeute als Reinsubstanz erhalten. Die Aufarbeitung ist unproblematisch, da **4** von seinen wesentlich schwerer flüchtigen Verunreinigungen leicht durch Sublimation abgetrennt werden kann (vorhergehendes Filtrieren über Kieselgel vereinfacht die Sublimation). Auf diesem Syntheseweg, der bereits von *Witzel*¹⁴⁾ vorgeschlagen wurde, ist nun

Schema 3



der Farbstoff **4** in großen Mengen in hochreiner Form zugänglich. Über seine Anwendungen als Fluoreszenzfarbstoff wird an anderer Stelle berichtet werden.

Nach der Synthesevorschrift zur Darstellung von **4** wurde versucht, auch seine Benzo- und Naphtho-Analogen **17** und **23** darzustellen. Die hierfür als Ausgangsmaterialien dienenden Benzo- und Naphthofurfurale **14** und **20** lassen sich nach Schema 3 aus Salicylaldehyd (**12**) und seinem Benzo-Analogen **18** darstellen. Es erfolgt dann analog zu **4** Kondensation und Oxidation zu den entsprechenden Furilen **15** und **21**, mit denen dann die Umlagerung versucht wurde. Die Analogen zu **4** ließen sich dabei allerdings nicht nachweisen. Hierbei stand vielmehr die Kondensation zu den **10** analogen Pyrazinen **16** bzw. **22** im Vordergrund. Daneben wurden noch eine Reihe nicht näher identifizierter Pyrazole erhalten, deren Bildung auf einen Abbau der Furile unter den Reaktionsbedingungen hinweist.

Offensichtlich ist eine ringerweiternde Umlagerung durch die stabilisierend wirkende Ankondensation weiterer Benzolringe auch unter diesen bereits drastischen Reaktionsbedingungen nicht mehr möglich. Eine geeignete Substitution kann die Ringerweiterung begünstigen. Hierüber wird in anderem Zusammenhang berichtet. Farbstoff **4** zeigt, wie auch in Lit.²⁰⁾ angegeben, den erwarteten großen Stokes-Shift, der auf einen Protonentransfer nach dem Förster-Mechanismus zurückzuführen ist. Das Absorptionsspektrum ist vollständig vom Fluoreszenzspektrum getrennt – Trennzahl¹¹⁾ $TZ = 10^{11}$. Die Fluoreszenzquantenausbeute beträgt 50% in Chloroform (bei 25 °C, absolut gemessen⁸⁾), so daß der Farbstoff für Fluoreszenzanwendungen brauchbar ist.

Wie auch in Lit.²⁰⁾ angegeben, ist **4** sowohl in Absorption als auch in der Fluoreszenz nur geringfügig solvatochrom, was dort auf einen Zwei-Protonen-Transfer zurückgeführt worden ist. Auch das leicht polarisierbare Solvens Dimethylsulfoxid verändert die Spektren nur wenig, so daß angenommen werden muß, daß sowohl der elektronische Grundzustand, als auch der erste elektronisch angeregte Zustand von **4** ähnliche und verhältnismäßig schwache Wechselwirkungen mit dem Solvens eingehen. Wird **4** aber in Alkoholen, so z. B. in Ethanol, gelöst, so verändern sich seine Spektren erheblich: Das Absorptionsmaximum wird von 342 nm (z. B. in Chloroform) nach 382 nm verschoben. Parallel hierzu tritt eine hypsochrome Verschiebung der Fluoreszenz von 483 nach 458 nm auf. Bei der Bandenverschiebung handelt es sich nicht um eine Solvatochromie, denn bei einer sukzessiven Erhöhung des Ethanol-Gehalts einer Chloroform-Lösung nehmen die Banden bei 342 und 483 nm ab und die anderen entsprechend zu. Bei einer Ethanol-Konzentration von 6.85 mol/l (ca. 40 Vol.-%) sind beide Banden gleich intensiv. Wird dann in die kurzwellige Absorptionsbande eingestrahlt, so liegt das Fluoreszenzmaximum bei 483 nm und umgekehrt. Aus diesen Ergebnissen ist auf das Vorliegen zweier unterscheidbarer Spezies zu schließen. Ihre Umwandlung ineinander erfolgt reversibel: Wird 1 ml einer Lösung von **4** mit Chloroform auf 10 ml aufgefüllt, erhält man das für Chloroform charakteristische Spektrum und umgekehrt das für Ethanol charakteristische Spektrum. Über diese Umwandlung, an der Schwermetallspuren beteiligt sind, wird an anderer Stelle berichtet.

Wird als Medium Polymethylmethacrylat (Plexiglas) verwendet, so fluoresziert **4** ebenfalls mit hoher Quantenausbeute. Die Spektren entsprechen dann völlig der Chloroform-Lösung. **4** kann daher auch in polymeren Gläsern als Fluoreszenzfarbstoff eingesetzt werden.

Herrn Prof. H. Witzel wird für experimentelle Hinweise und die Überlassung von Substanzproben gedankt sowie der *Stiftung Volkswagenwerk* für die Unterstützung der Arbeit. Die UV/VIS-Spektroskopie ist von Fräulein S. Grundner ausgeführt worden.

Experimenteller Teil

UV/VIS-Spektren: DMR 21 der Firma Zeiss mit Fluoreszenzzusatz ZMF 4. – $^1\text{H-NMR}$ -Spektren: WM 250 der Firma Bruker – $^{13}\text{C-NMR}$ -Spektren: WP 80 der Firma Bruker; angegebene Multiplizitäten beziehen sich auf das off-resonance-Spektrum – IR-Spektren: PE 457 der Firma Perkin-Elmer – Massenspektren: SM 1 B der Firma Varian.

[2,2'-Bipyridin]-3,3'-diol (4): 5.0 g (26.3 mmol) Fural (9) werden mit 15 g (286 mmol) Ammoniumchlorid und 600 ml Methanol in einem 1-l-Stahl-Schüttelautoklaven 2 h auf 210°C erhitzt. Nach dem Erkalten wird das Methanol i. Vak. abdestilliert und der Rückstand mit 200 ml Chloroform digeriert. Das Chloroform wird filtriert, mit 50 ml Wasser gewaschen und nach Einengen der Chloroform-Phase über Kieselgel filtriert (Säule 5 cm × 25 cm). Nach Abdampfen des Chloroforms wird der Rückstand bei 180°C unter Stickstoff bei Atmosphärendruck sublimiert. Die Temperatur von 180°C sollte dabei nicht überschritten werden. Ausb. 1.6 g (32%), Schmp. 190–191°C (Lit.¹³) 188–190°C), lange, leuchtend gelbgrüne Nadeln. – IR (KBr): 3000–2000 (OH), 1945 w, 1900 w, 1850 w, 1770 w, 1700 w, 1595 w, 1565 m, 1505 w, 1485 s, 1435 s, 1380 w, 1355 m, 1335 m, 1300 s, 1250 m, 1230 m, 1200 w, 1110 m, 1060 m, 870 s, 835 w, 795 s, 722 s, 640 s, 550 s, 450 cm^{-1} . – $^1\text{H-NMR}$ (CDCl_3): δ = 7.29 (dd, $J_{5,6}$ = 4.7, $J_{5,4}$ = 8.2 Hz; 2H, 5,5'-H), 7.43 (dd, $J_{4,5}$ = 8.2, $J_{4,6}$ = 1.5 Hz; 2H, 4,4'-H), 8.06 (dd, $J_{6,4}$ = 4.7, $J_{4,6}$ = 1.5 Hz; 2H, 6,6'-H), 14.68 (s; 2H, OH). – $^{13}\text{C-NMR}$ (CDCl_3): δ = 124.8 (d, $^1J^{\text{R}}$ = 53.7 Hz), 125.92 (d, $^1J^{\text{R}}$ = 52.6 Hz), 136.00 (d, $^1J^{\text{R}}$ = 62.7 Hz), 139.99 (s), 156.32 (s). – MS (70 eV): m/z = 189 (11%, $\text{M}^+ + 1$), 188 (100, M^+), 171 (78, $\text{M}^+ - \text{OH}$), 94 (10), 67 (11), 66 (10), 39 (51).

$\text{C}_{10}\text{H}_8\text{N}_2\text{O}_2$ (188.2) Ber. C 63.83 H 4.29 N 14.89 Gef. C 63.58 H 3.92 N 14.56

2-(2,2-Dimethoxyethoxy)benzaldehyd (13): 100 g (0.82 mol) Salicylaldehyd (12), 160 g (1.11 mol) Chloracetaldehyd-dimethylacetal und 72 g (0.52 mol) Kaliumcarbonat werden in 1 l wasserfreiem DMF 2 h auf 140°C erhitzt. Nach Filtrieren wird die Hauptmenge DMF i. Vak. abdestilliert, der Rest auf Wasser gegossen und mit Ether extrahiert. Nach Trocknen des Ethers wird destilliert. Ausb. 97.59 g (56.6%), Sdp. 112°C/0.4 Torr, n_{D}^{25} = 1.5215 (Lit.²¹) 1.5220). – IR (Film): 3100–3000 w (CH, arom.), 3040–2850 s (CH, aliph.), 1705 s (C=O), 1615 s, 1595 m, 1495 s, 1470 s, 1408 m, 1250 s, 1200 s, 1145 m, 1085 s, 1050 w, 770 cm^{-1} . – $^1\text{H-NMR}$ (CDCl_3): δ = 3.37 (s; 6H, OCH_3), 3.97 (d, J = 5.2 Hz; 2H, OCH_2CH), 4.63 (t, J = 5.2 Hz; 1H, CH_2CH), 6.77–7.70 (m; 4H, Aromaten-H), 10.35 (s; 1H, RCHO).

Benzofuran-2-carbaldehyd (2-Formylcumaron) (14)²¹: Die Lösung von 97 g (0.46 mol) 13 in 300 ml Eisessig wird 72 h unter Rückfluß gekocht und nach dem Erkalten auf 800 ml Wasser gegossen. Es wurde mit Ether extrahiert, die Etherphase mit Natriumcarbonatlösung gewaschen und mit Magnesiumsulfat getrocknet. Der Ether wurde abdestilliert und der Rückstand destilliert. Ausb. 56.4 g (81%, Lit.²¹) 88.7%), Sdp. 134°C/15 Torr, n_{D}^{25} = 1.6221 (Lit.²¹) n_{D}^{25} = 1.6268). – IR (Film): 3150 w, 3115 w, 3085 w, 2850 w, 2830 w, 1708 s (C=O), 1625 m, 1612 w, 1605 w, 1570 s, 1490 m, 1460 m, 1300 s, 1130 cm^{-1} . – $^1\text{H-NMR}$ (CDCl_3): δ = 7.23–7.54 (m; 4H, Aromaten-H), 7.69 (d, J = 8 Hz; 1H, 4-H), 9.81 (s; 1H, CHO).

1,2-Bis(benzofuran-2-yl)ethandion (15): 19.2 g (100 mmol) 14 wurden mit 10 ml Ethanol, 10 ml dest. Wasser und 1.0 g (15.3 mmol) Kaliumcyanid 40 min unter Rückfluß gekocht. Die Reaktionsmischung wurde mit Chloroform extrahiert und der Extrakt über Kieselgel filtriert. Nach Abdampfen des Chloroforms wurde das rohe 1,2-Bis(benzofuran-2-yl)-2-hydroxyethanon in 80 ml Eisessig gelöst und mit 700 mg Cobalt(II)-acetat · 4 H_2O versetzt. Die Mischung wurde auf 95°C

erwärmt und während 1 h Luft eingeleitet. Nach Erkalten kristallisierte **15** aus. Es wurde abgesaugt und aus Ethanol/Toluol (3:1) umkristallisiert. Ausb. 4.2 g (29%), Schmp. 195°C. – IR (KBr): 3160 w, 3090 w, 3070 w, 3030, 1640 s (C=O), 1610 s, 1590 w, 1285 s, 1123 s cm⁻¹. – ¹H-NMR (CDCl₃): δ = 7.37 (dd, *J*_{5,6} = 8.1, *J*_{5,4} = 8.1 Hz; 2H, 5-H), 7.57 (dd, *J*_{5,6} = 8.1, *J*_{6,7} = 8.1 Hz; 2H, 6-H), 7.66 (d, *J*_{7,6} = 8.1 Hz; 2H, 7-H), 7.81 (d, *J*_{4,5} = 8.1 Hz; 2H, 4-H), 8.04 (s; 2H, 3-H). – MS (70 eV): *m/z* = 290 (7%, M⁺), 262 (2, M⁺ – CO), 145 (100, M⁺/2), 89 (42, C₇H₇⁺), 63 (14), 39 (10, C₃H₃⁺).

C₁₈H₁₀O₄ (290.3) Ber. C 74.48 H 3.45 Gef. C 74.17 H 3.14

2,3,6,5-Tetrakis(benzofuran-2-yl)pyrazin (16): **15** wird analog zu **4** umgesetzt; durch Extraktion mit Chloroform wird aufgearbeitet. **16** wird durch Chromatographie mit Chloroform an Kieselgel erhalten, Schmp. 273°C. Es wurde nicht weiter gereinigt. – IR (KBr): 3100–3000 m, 1610 w, 1595 w, 1565 s, 1475 w, 1450 m, 1395 s, 1345 m, 1310 m cm⁻¹. – ¹H-NMR (CDCl₃): δ = 7.29–7.51 (m; 16H), 7.68 (dd, *J* = 7.8 Hz, 1.2 Hz; 4H). – MS (70 eV): *m/z* = 545 (44%, M⁺ + 1), 544 (86, M⁺), 543 (39), 542 (23), 541 (11), 272 (32), 259 (23), 258 (100), 257 (17), 230 (12), 229 (30), 203 (11), 202 (45), 201 (41), 200 (38), 144 (14), 143 (71), 115 (42), 114 (15), 89 (13), 88 (17), 63 (15), 39 (27).

2-(2,2-Dimethoxyethoxy)-1-naphthalincarbaldehyd (19): 42.5 g (250 mmol) 2-Hydroxy-1-naphthalincarbaldehyd (**18**)²¹ wurden mit 50 g (400 mmol) Chloracetaldehyd-dimethylacetal, 400 ml wasserfreiem DMF und 30 g Kaliumcarbonat 5 h auf 140°C unter N₂ erhitzt. Die Hauptmenge an DMF wurde i. Vak. abdestilliert und der Rückstand auf Wasser gegossen. Dann wurde mit Ether extrahiert, der Ether abdestilliert und der Rückstand mit Chloroform über Kieselgel filtriert (5 cm × 30 cm). Nach Abdampfen des Chloroforms wurde aus Ethanol umkristallisiert. Ausb. 6.0 g (9.2%), Schmp. 83–85°C. – IR (KBr): 3078 w, 2995 w, 2960–2800 m, 1665 s (C=O), 1615 s, 1590, 1510 s, 1250 s cm⁻¹. – ¹H-NMR (CDCl₃): δ = 3.48 (s; 6H, OCH₃), 4.23 (d, *J* = 5 Hz; 2H, OCH₂), 4.78 (t, *J* = 5 Hz; 1H, CH(OCH₃)₂), 7.22 (d, *J*_{7,8} = 9 Hz; 1H, 8-H), 7.30 (dd, *J*_{6,7} = 7.5, *J*_{6,5} = 9 Hz; 1H, 6-H), 7.60 (dd, *J*_{7,8} = 9, *J*_{7,6} = 7.5 Hz; 1H, 7-H), 7.73 (d, *J*_{6,5} = 9 Hz; 5-H), 8.00 (d, *J*_{3,4} = 9 Hz; 1H, 3-H), 9.27 (d, *J*_{3,4} = 9 Hz; 1H, 4-H), (s; 1H, CHO). – MS (70 eV): *m/z* = 260 (4%, M⁺), 186 (2), 170 (10), 115 (5, C₉H₇⁺), 75 (100, C₃H₇O₂⁺), 59 (7), 47 (13), 43 (9).

C₁₅H₁₆O₄ (260.3) Ber. C 69.22 H 6.20 Gef. C 69.19 H 6.04

Naphtho[2,1-b]furan-2-carbaldehyd (20): 3.0 g (11.5 mmol) **19** wurden mit 50 ml Eisessig versetzt und 72 h unter Rückfluß gekocht. Nach Erkalten wurde auf 500 ml Wasser gegossen, mit Ether extrahiert, die Ether-Phase mit Natriumcarbonatlösung gewaschen, der Ether mit Magnesiumsulfat getrocknet und dann abdestilliert. Der Rückstand wurde in Chloroform aufgenommen und über eine Säule mit Kieselgel filtriert (5 cm × 30 cm). Anschließend wurde aus Ethanol umkristallisiert. Ausb. 1.45 g (64%), Schmp. 74–75°C, R_F = 0.9 (CHCl₃/Kieselgel). – IR (KBr): 3120 w, 3050 w, 2900 w, 1675 s (C=O), 1625 w, 1582 w, 1545 m, 1520 w, 1320 s cm⁻¹. – ¹H-NMR (CDCl₃): δ = 7.51–7.96 (m; 6H, Aromaten-H), 8.13 (d, *J*_{4,5} = 6.8 Hz; 1H, 5-H), 9.87 (s; 1H, CHO). – MS (70 eV): *m/z* = 197 (17%, M⁺ + 1), 196 (100, M⁺), 195 (37), 168 (9), 140 (17), 139 (65), 70 (16), 63 (18), 39 (8).

C₁₃H₈O₂ (196.2) Ber. C 79.58 H 4.11 Gef. C 79.28 H 3.78

1,2-Bis(naphtho[2,1-b]furan-2-yl)ethandion (21): 1.7 g (8.7 mmol) **20** wurden mit 10 ml Ethanol, 10 ml dest. Wasser und 200 mg (3.1 mmol) Kaliumcyanid 40 min unter Rückfluß gekocht. Nach Erkalten wurde mit Chloroform extrahiert und über Kieselgel filtriert (Säule 5 cm × 30 cm). Das rohe 2-Hydroxy-1,2-bis(naphtho[2,1-b]furan-2-yl)ethanon wurde mit 10 ml Eisessig und 250 mg Cobalt(II)-acetat · 2 H₂O versetzt. Dann wurde auf 95°C erwärmt und bei dieser Temp. 1 h Luft eingeleitet. Beim Abkühlen kristallisierte **21** aus, das abgesaugt, mit Chlo-

roform über Kieselgel filtriert und aus Ethanol/Toluol (3:1) umkristallisiert wurde. Ausb. 450 mg (26%), Schmp. 234°C. – IR (KBr): 3150 w, 1645 s (C=O), 1625 s, 1582 m, 1530 s, 1510 m, 1440 m, 1380 w, 1305 m, 1140 s cm⁻¹. – ¹H-NMR (CDCl₃): δ = 7.57–8.05 (m; 10H, Aromaten-H), 8.23 (d, J_{4,5} = 6 Hz; 2H, 5-H), 8.58 (s; 2H, 1-H). – MS (70 eV): m/z = 390 (6%, M⁺), 196 (14), 195 (100, M⁺/2), 140 (5), 139 (36).

C₂₆H₁₄O₄ (390.4) Ber. C 79.99 H 3.61 Gef. C 79.39 H 3.00

- 1) H. Langhals, Nachr. Chem. Tech. Lab. **28**, 716 (1980).
- 2) A. Götzberger und W. Greubel, Appl. Phys. **14**, 123 (1977).
- 3) R. L. Garvin, Rev. Sci. Instrum. **31**, 1010 (1960).
- 4) F. P. Schäfer, Dye Lasers, 1. Aufl., Springer Verlag, Berlin 1977.
- 5) Ullmanns Enzyklopädie der technischen Chemie, Bd. 17, 4. Aufl. S. 468, Verlag Chemie, Weinheim 1979.
- 6) H. Langhals, Angew. Chem. **94**, 739 (1982); Angew. Chem., Int. Ed. Engl. **21**, 725 (1982).
- 7) Th. Förster, Naturwissenschaften **36**, 186 (1949).
- 8) Die Messungen wurden von Herrn A. Zastrow am Institut für solare Energiesysteme in Freiburg i. Br. ausgeführt.
- 9) H. Schenkel-Rudin und M. Schenkel-Rudin, Helv. Chim. Acta **27**, 1456 (1944).
- 10) M. V. Gorelik, T. Kh. Gladysheva, N. N. Share't'ko, B. E. Zaitsev, L. N. Kurkowskaya, N. A. Trankvil'nitskaya und T. A. Mikhailova, Khim. Geterotsikl. Soedin. **7**, 238 (1971) [Chem. Abstr. **75**, 34977 n (1971)].
- 11) H. Langhals, Ber. Bunsenges. Phys. Chem. **83**, 730 (1979).
- 12) C. Otto, Diplomarbeit, Univ. Freiburg 1981.
- 13) ^{13a} General Electric Co. (Erf. J. G. Wirth), US-Pat. 3676448 (11. 7. 1972) [Chem. Abstr. **77**, P 103415 h (1972)]. – ^{13b} General Electric Co. (Erf. J. G. Wirth), US-Pat. 3767652 (23. 10. 1973) [Chem. Abstr. **80**, P 109920c (1974)].
- 14) W. Siemanowski und H. Witzel, Liebigs Ann. Chem. **1984**, 1731.
- 15) C. Finkentey, E. Langhals und H. Langhals, Chem. Ber. **116**, 2394 (1983).
- 16) T. Zincke und G. Mühlhausen, Ber. Dtsch. Chem. Ges. **38**, 3824 (1905).
- 17) E. Fischer, Liebigs Ann. Chem. **211**, 214 (1882).
- 18) Quaker Oats Co. (Erf. A. P. Dunlop und S. Swadesh), US-Pat. 263688 (1. 8. 1950) [Chem. Abstr. **48**, 4597 (1954)].
- 19) M. J. Wiemann, N. Vinot und M. Villadary, Bull. Soc. Chim. Fr. **1965**, 3476.
- 20) H. Bulska, Chem. Phys. Lett. **98**, 398 (1983).
- 21) Societe Belge de l'Azote et des Produits Chimiques du Marly, S. A. (Erf. M. Descamps und F. Henaux), Franz. Pat. 1537206 [Chem. Abstr. **76**, 61198 h (1969)].

[42/85]